

# 大韓海峽潮流의 3次元의分布

## Vertical Distribution of Tidal Current in the Korea Strait

김경환\*, 방인권\*\*, 최병호\*

### 1. 緒論

大韓海峽은 東海의 循環을 야기시키는 海流力學을 研究하는 海洋學的인 觀點에서 重要한 海峽이다. 特別히 海峽을 통한 輸送量의 變化는 東海循環過程과의 關聯性을 調査하는 데 重要한 事項이다. 地理的 境界는 西쪽으로 珍島 西端과 遮歸島(濟州道), 南쪽으로 牛島(濟州道)와 五島列島(日本), 그리고 東쪽으로 蔚崎와 川尼御崎(日本)를 잇는 海域으로 劃定되며, 이 境界로써 黃海와 東中國海 및 東海와 各기 區分된다(國立水產振興院, 1979). 海峽中央에는 對馬島가 있어 韓國側과는 西水道, 日本側과 東水道로 區分되어 진다. 地形的特徵은 海峽 北쪽으로는 東海의 200m以上の 深海와 連結되어 급격한 水深變化를 보이며 南쪽으로는 太平洋 쪽에서 連結되는 300~400m정도의 水深과 連結된다. 이 海域은 韓·日間 海底Cable에 의해 80년대 초반부터 부분적인 電壓測定노력이 있다가 80년대 후반부터 서울대 金丘교수, 成均館大 崔秉昊教授, 九州大學의 川建和雄의 주도아래 장기적인 電壓測定이 이루어지고 있다. 본 研究에서는 大韓海峽潮流의 3次元의인 分布特性을 提示하여 經度 126° 30' ~ 132° 20', 緯度 30° 55' ~ 37° 35' 의 해역을 1/12° X 1/12° 해상도의 有限差分 格子上에서 3次元 數值模型(Choi, 1989)을 이용하여 기존 Odamaki(1989)의 4個分潮 潮汐圖에 4個分潮 ( $P_1, Q_1, K_2, N_2$ )를 追加하여 潮汐圖를 提示하고 沿岸觀測値와 比較를 遂行하였다. 潮流의 垂直分布는 九州大學 應用力學研究所에서 1987年 6月27日 0時부터 9月20日까지 對馬島 南쪽 34° 02' N, 129° 25' E에서 觀測한 資料와 比較가 이루어 졌다.

### 2. 基本方程式

垂直方向의 加速項, 非線形 移流項을 無視하고 海水密度가 均一하다고 假定하고 球面座標系上에서의 3次元 連續方程式과 運動方程式은 아래와 같다.

$$\frac{\partial \xi}{\partial t} + \frac{1}{R \cos \phi} \left\{ \frac{\partial}{\partial \chi} \int_0^h U dz + \frac{\partial}{\partial \chi} \int_0^h V \cos \phi dz \right\} = 0 \quad (1)$$

$$\frac{\partial U}{\partial t} - 2\omega \sin \phi V = \frac{-g}{R \cos \phi} \frac{\partial \xi}{\partial \chi} - \frac{1}{\rho} \frac{\partial F}{\partial z} \quad (2)$$

$$\frac{\partial V}{\partial t} + 2\omega \sin \phi U = \frac{-g}{R} \frac{\partial \xi}{\partial \phi} - \frac{1}{\rho} \frac{\partial G}{\partial z} \quad (3)$$

$$W = \frac{1}{R \cos \phi} \frac{\partial}{\partial \chi} \int_z^h U dz + \frac{1}{R} \frac{\partial}{\partial \phi} \int_z^h V dz \quad (4)$$

\* 성균관대학교 토목공학과(Dept. of Civil Eng., Sung Kyun Kwan Univ., Suwon, Korea)

\*\* 한국해양연구소 해양물리연구부

여기서,  $t$  : 時間  
 $\lambda, \phi$  : 東經 및 緯度  
 $\xi$  : 靜止海面下에 대한 水位  
 $h$  : 靜止海面下의 水深  
 $H = h + \xi$  : 總水深  
 $R$  : 地球의 曲率半徑  
 $g$  : 重力加速度  
 $\omega$  : 地球回轉의 角速度  
 $U, V$  : 水深  $Z$ 에서의 東向, 北向의 流速成分

### 3. 結果 및 討議

2차원 조류모형의 결과를 입력으로하여 3차원 조류분포를 구하였다. 그림 1~8은 3차원 모형에 의해 각분조별로 조류를 산정하여 제시한 조석도이며 그림 8~9는 연안 관측치와의 비교graph이다. 그림 10~12은  $M_2$ 조류의 수심에 따른 조류타원도이며 전체적인 조류분포는 중간수심의 조류는 표층에 비해 그 크기는 3~8%정도 감소하고 해저의 조류는 표층에 비해 약 55%정도 감소하고 있다. 조류의 분포는 한국과 일본측연안에서 반시계방향의 흐름을 보이며 해협 중앙에서는 시계방향의 회전을 보인다. 이것은 Odamaki(1989)의 결과와 정성적으로 일치를 하고 있다. 그림 13은 구주대 관측지점에서의 동향및 북향성분 조류의 매시간변화를 제시하고있다.

### 參考文獻

- Choi, B.H. 1980. A tidal model of the Yellow Sea and Eastern China Sea. Korea Ocean Research and Development Institute(KORDI), Rep. 80-02  
 최병호. 1983. 경기만의 3차원 유동 해석모델. J. Oceanogr. Soc. Korea. 18(1):10-20.  
 Heaps, N.S. 1972. On the numerical solution of the three-dimensional hydrodynamical equation for tides and storm surges. Mém. Soc. Roy. Sci. Liège, 2: 143-180.  
 Heaps, N.S. 1973. Three-dimensional numerical model of the Irish Sea. Geophys. J.R. Astr. Soc. 35:99-120.  
 Odamaki, M. 1989. Tides and Tidal Currents in the Tusima Strait. J. Oceanogr. Soc. Japan. 45:65-82.

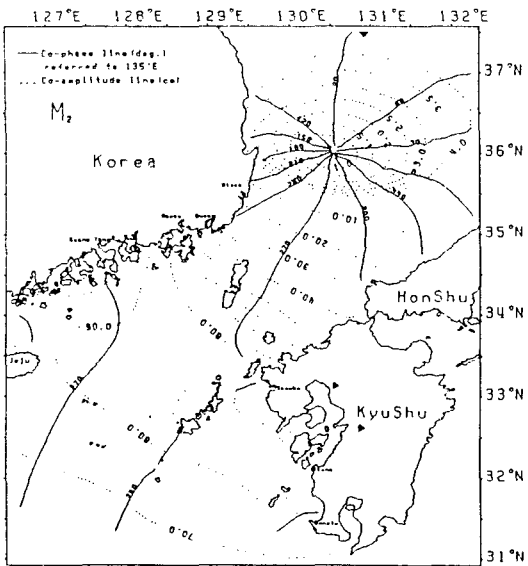


그림 1.  $M_2$  의 조석도

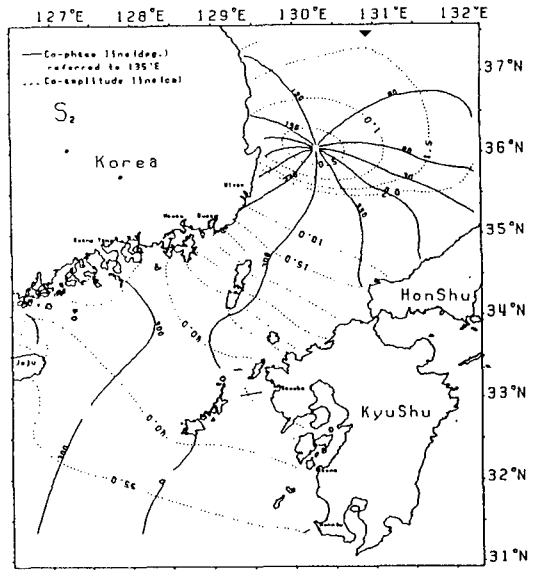


그림 2.  $S_2$  의 조석도

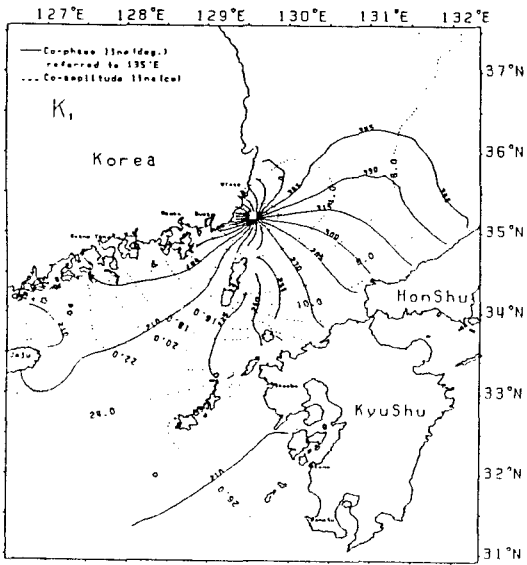


그림 3.  $K_1$  의 조석도

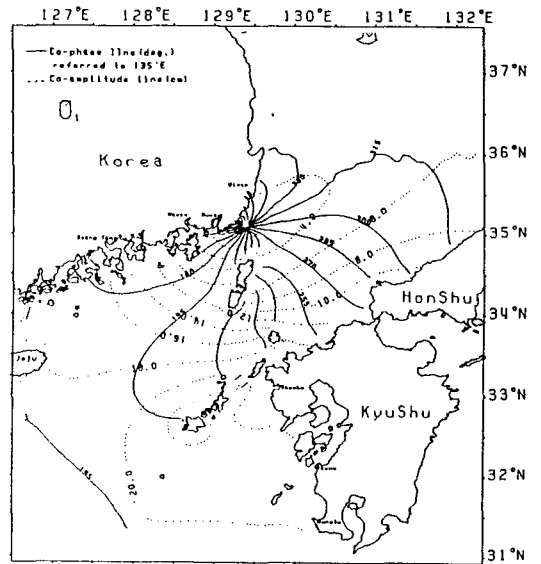


그림 4.  $O_1$  의 조석도

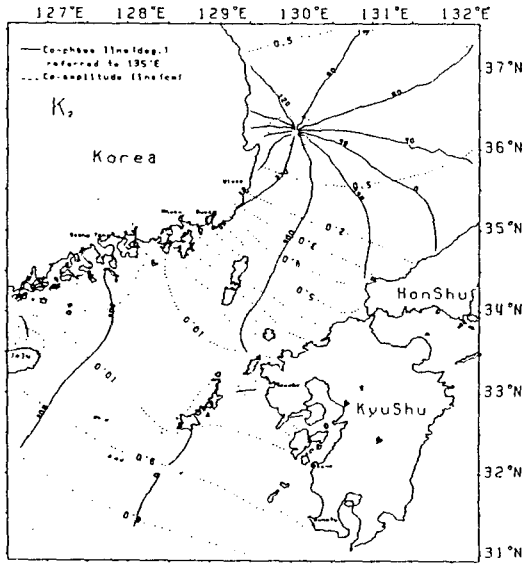


그림 5.  $K_2$  의 조석도

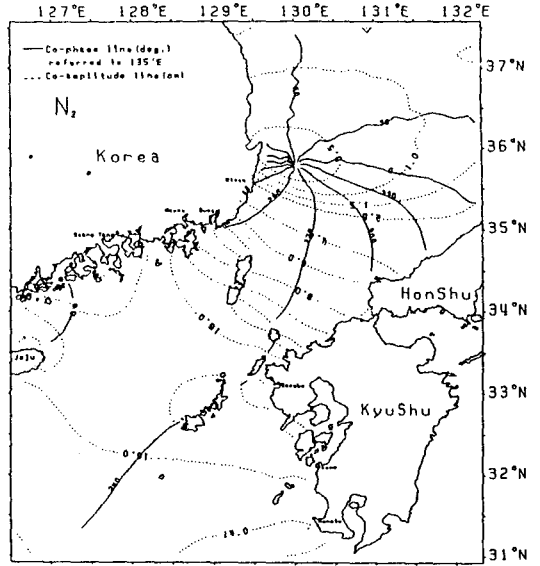


그림 6.  $N_2$  의 조석도

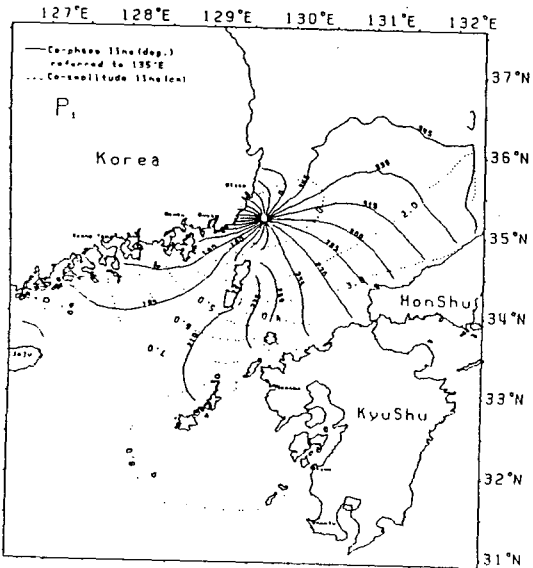


그림 7.  $P_1$  의 조석도

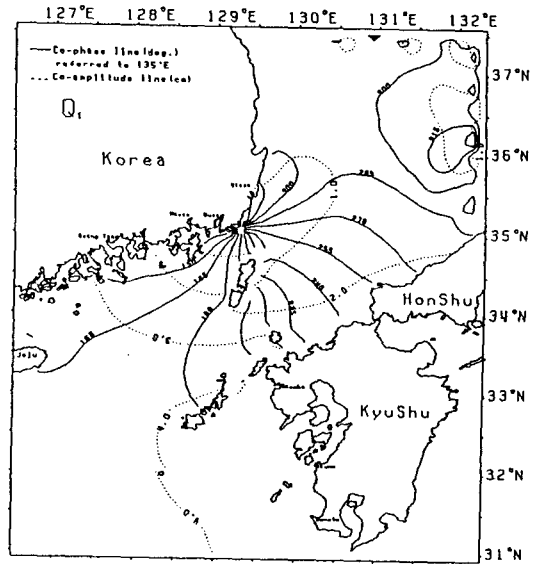


그림 8.  $Q_1$  의 조석도

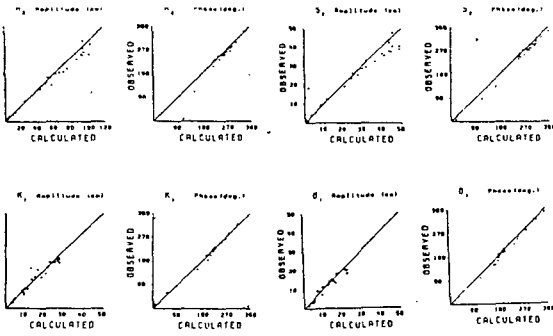


그림 9.  $M_2, S_2, K_1, O_1$ 의 계산치와 관측치의 비교

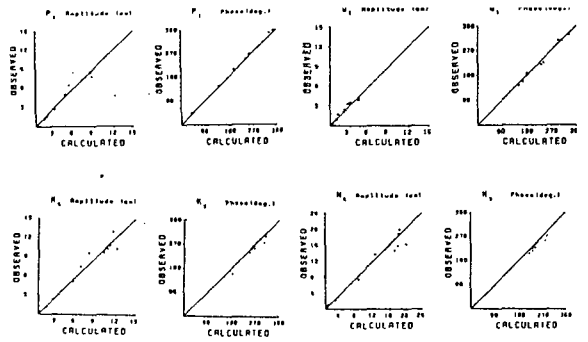
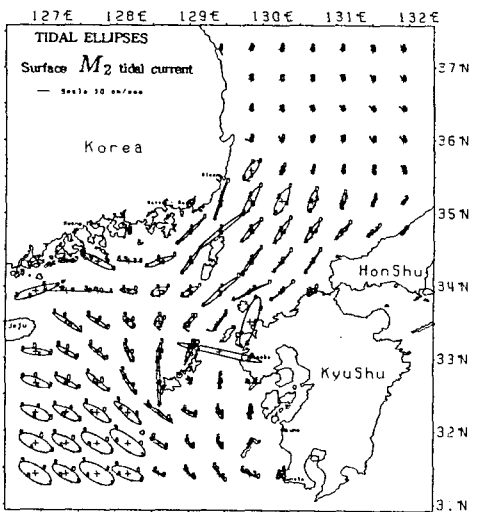
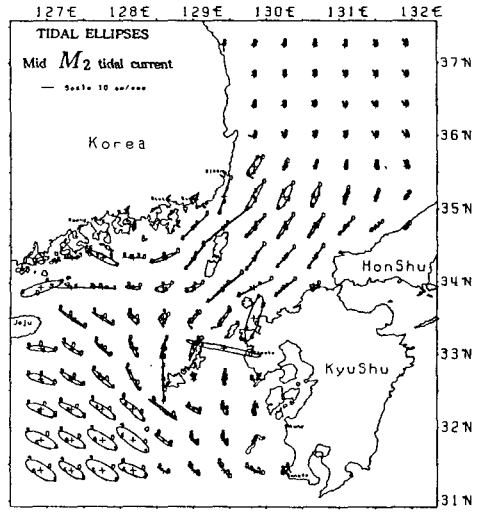


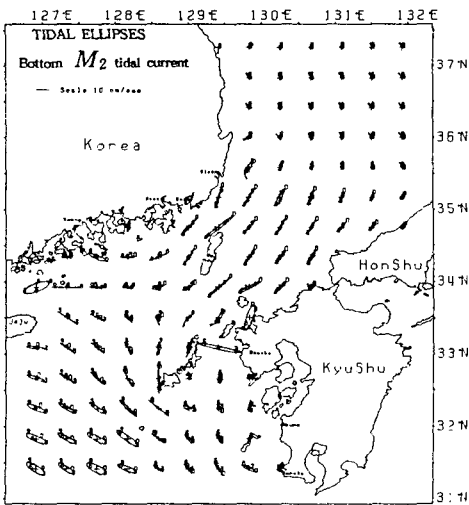
그림 10.  $K_2, N_2, P_1, Q_1$ 의 계산치와 관측치의 비교



(a) Surface



(b) Mid



(c) Bottom

그림 11.  $M_2$  조류타원도

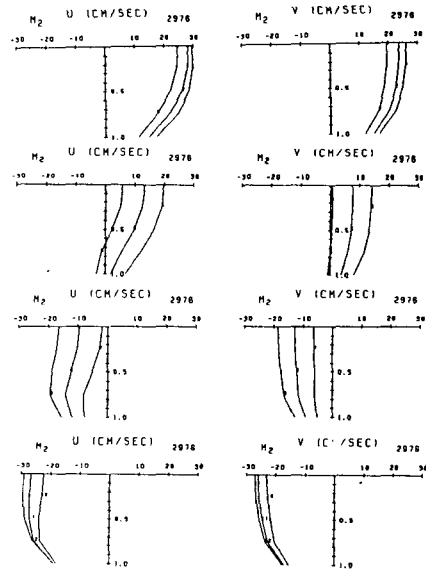


그림 12. 구주대학관측지점에서의 계산된 연직유속분포